

PROVINCIA DI TERNI

COMUNE DI TERNI

ADEGUAMENTO SISMICO DELL'EDIFICIO SCOLASTICO
ELEMENTARE G. CARDUCCI



ABACO SOC. COOPERATIVA DI RICERCA E PROGETTI

Viale Guglielmo Marconi, 2 Spoleto

Tel. 0743 222755 Fax 0743 222527 e-mail: info@studioabaco.com pec: abaco.coop@pec.it

Arch. E. Bacchettini

Arch. G. Cittadoni

Arch. L. Elisei

Arch. M. Orazi



ALL. 4

DOCUMENTAZIONE INTEGRATIVA

a completa sostituzione dell'elaborato precedentemente consegnato

RELAZIONE GEOTECNICA E SULLE FONDAZIONI

Data:
DIC. 2016

--	--	--	--

***A completa sostituzione dell'elaborato precedentemente consegnato**

ALLEGATO n.4

**Allegato alla richiesta di integrazione per Adeguamento Sismico Edificio Scolastico
G.Carducci Prat. 804/2016, verbale istruttoria Prot. 237516 del 16/11/2016**

c-e) RELAZIONE GEOTECNICA E SULLE FONDAZIONI

1 RELAZIONE GEOTECNICA e SULLE FONDAZIONI (NTC 2008 Cap. 6 e Circolare 617/2009 punto C6.2.2.5)

1.1 CARATTERIZZAZIONE DEL TERRENO

Il rilevamento geologico e geomorfologico eseguito, i dati desunti dalla letteratura e le risultanze delle indagini effettuate hanno permesso di individuare i termini litologici presenti nell'area di intervento, le loro caratteristiche geotecniche di base ed i relativi rapporti stratigrafici.

Di seguito vengono riassunte, a partire dal piano campagna, le caratteristiche meccaniche dei terreni rilevati, elicitati in maniera completa nella Relazione Geologica.

UNITÀ GEOTECNICA 1

Lo strato immediatamente sottostante la superficie topografica è costituito da terreno di riporto:

- Peso di volume $\gamma = 18,90 \text{ kN/m}^3$
- Coesione non drenata $c_u = 0,00 \text{ kg/cm}^2$
- Angolo di attrito interno $\phi' = 18^\circ$

UNITÀ GEOTECNICA 2

L'unità è costituita da limi argillosi e costituisce il piano di posa della fondazione.

In sintesi le caratteristiche meccaniche del terreno possono essere così modellate:

- Peso di volume $\gamma = 19,80 \text{ kN/m}^3$
- Coesione non drenata $c_u = 0,20 \text{ kg/cm}^2$
- Angolo di attrito interno $\phi' = 25^\circ$

Per la stratigrafia completa si rimanda alla relazione geologica redatta dal Dott. Geol. Luca Latella. Le indagini effettuate hanno, inoltre, riscontrato la presenza di una falda posta ad una profondità media stagionale superiore a 15 m dal p.c.; la verifica a liquefazione, per cui si rimanda alla relazione geologica, ha evidenziato la presenza di un suolo non liquefabile.

Da un punto di vista sismico la categoria del sottosuolo del sito in esame è stata determinata attraverso l'esecuzione di un profilo sismico che ha permesso di attribuire al sottosuolo la **categoria B**.

Il sito in esame si colloca su una superficie pianeggiante (inclinazione media inferiore a 15°). Pertanto, si riferisce il sito alla categoria:

T1: Superficie pianeggiante, pendii e rilievi isolati con inclinazione media $i \leq 15^\circ$ e quindi il coefficiente di amplificazione topografica S_T è pari a **1,0**.

Si ipotizza un comportamento dell'interazione fondazione – terreno con la teoria di "trave su suolo elastico" con coefficiente di sotterraneo $k_{Winkler}=0,022 \text{ N/mm}^3$

1.2 CALCOLO DELLA CAPACITA' PORTANTE DEL TERRENO

Il calcolo della capacità portante del terreno q_{lim} sarà effettuato, a favore di sicurezza, con la formula di Hansen, considerando le strutture di fondazione di tipo nastriforme, così come allo stato di progetto.

Si ipotizza un affondamento medio del piano di posa pari a 1,45m la fondazione Sud e 2,15m per la fondazione Nord, come evidenziato dai saggi effettuati, e a favore di sicurezza si pone nulla la coesione efficace del terreno.

Fondazione Sud

Capacità portante Fondazioni superficiali

Tipologia Fondazione

- Impronta quadrata ($B=L$)
- Impronta circolare ($B=Diametro$)
- Impronta rettangolare ($B < L$)
- Impronta nastroiforme (travi rovesce)

Dati Geometrici Fondazione [in assenza di falda]

Lato (diametro) impronta B (cm)	160
Profondità impronta L (cm) [$>B$]	
Affondamento piano di posa D (cm)	145
Affondamento livello Falda Dw(cm) [Se >0]	0

Parametri Geotecnici

Peso di Volume del Terreno (daN/m ³)	1980	Coefficiente di Sicurezza	1.00
Peso Sp. Terreno saturo (daN/mc) [se $Dw > 0$]		In assenza di falda porre $Dw=0$. Per $\theta = 0$ il calcolo è effettuato per condizione non drenata ed il valore della coesione da inserire è C_u; va inoltre assegnato il peso sp. saturo del terreno. Nelle formule impiegate per il calcolo della capacità	
Angolo di Attrito ($^{\circ}$ gradi sessadecimali)	25		
Coesione c (daN/cm ²)	0		

Risultati

Press. Ammiss. secondo TERZAGHI (daN/cm ²)	5.189	Kwink. (da Terzaghi correl. di Bowles) (daN/cm ²)	2.076
Press. Ammiss. secondo MEYERHOF (daN/cm ²)	4.732	Kwink. (da Meyerhof correl. di Bowles) (daN/cm ²)	1.657
Press. Ammiss. secondo HANSEN (daN/cm ²)	5.008	Kwink. (da Hansen correl. di Bowles) (daN/cm ²)	1.657

Calcolo
Stampa
X
Esci

La verifica di resistenza del terreno interagente con la struttura è stata condotta con l'Approccio 2 con la Combinazione ($A_1 + M_1 + R_3$), nella quale i coefficienti A_1 sono gli stessi delle verifiche strutturali, i coefficienti M_1 sono tutti unitari ed il coefficiente R_3 per la verifica della capacità portante $\gamma_R = 2,3$.

Quindi si avrà che:

$$q_{adm} = q_{lim} / \gamma_R = 2.18 \text{ Kg/cm}^2.$$

Fondazione Nord

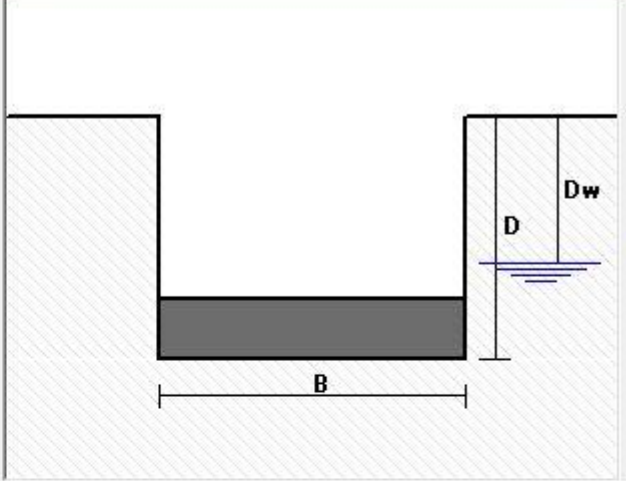
Capacità portante Fondazioni superficiali X

Tipologia Fondazione

- Impronta quadrata ($B=L$)
- Impronta circolare ($B=Diametro$)
- Impronta rettangolare ($B < L$)
- Impronta nastriforme (travi rovesce)

Dati Geometrici Fondazione (in assenza di falda)

Lato (diametro) impronta B (cm)	100
Profondità impronta L (cm) ($> B$)	[]
Affondamento piano di posa D (cm)	215
Affondamento livello Falda Dw(cm) [Se > 0]	0



Parametri Geotecnici

Peso di Volume del Terreno (daN/m ³)	1980	Coefficiente di Sicurezza	1.00
Peso Sp.Terreno saturo (daN/mc) [se Dw > 0]	[]	In assenza di falda porre Dw=0. Per $\varnothing = 0$ il calcolo è effettuato per condizione non drenata ed il valore della coesione da inserire è C_u ; va inoltre assegnato il peso sp. saturo del terreno. Nelle formule impiegate per il calcolo della capacità	
Angolo di Attrito (° gradi sessadecimali)	25		
Coesione c (daN/cm ²)	0		

Risultati

Kwink. (da Terzaghi correl. di Bowles) (daN/cm ²)	2.076		
Press. Ammiss. secondo MEYERHOF (daN/cm ²)	6.984	Kwink. (da Meyerhof correl. di Bowles) (daN/cm ²)	2.089
Press. Ammiss. secondo HANSEN (daN/cm ²)	6.836	Kwink. (da Hansen correl. di Bowles) (daN/cm ²)	2.091

Calcolo
Stampa
X
Esci

La verifica di resistenza del terreno interagente con la struttura è stata condotta con l'Approccio 2 con la Combinazione ($A_1 + M_1 + R_3$), nella quale i coefficienti A_1 sono gli stessi delle verifiche strutturali, i coefficienti M_1 sono tutti unitari ed il coefficiente R_3 per la verifica della capacità portante $\gamma_R = 2,3$.

Quindi si avrà che: $q_{adm} = q_{lim} / \gamma_R = 2.97 \text{ Kg/cm}^2$.

X

Capacità portante Fondazioni superficiali

Tipologia Fondazione

- Impronta quadrata ($B=L$)
- Impronta circolare ($B=Diametro$)
- Impronta rettangolare ($B < L$)
- Impronta nastroiforme (travi rovesce)

Dati Geometrici Fondazione [in assenza di falda]

Lato (diametro) impronta B (cm)	160
Profondità impronta L (cm) [$>B$]	
Affondamento piano di posa D (cm)	215
Affondamento livello Falda Dw(cm) [Se >0]	0

Parametri Geotecnici

Peso di Volume del Terreno (daN/m³)	1980	Coefficiente di Sicurezza	1.00
Peso Sp.Terreno saturo (daN/mc) [se Dw>0]		i In assenza di falda porre Dw=0. Per $\theta = 0$ il calcolo è effettuato per condizione non drenata ed il valore della coesione da inserire è C_u ; va inoltre assegnato il peso sp. saturo del terreno. Nelle formule impiegate per il calcolo della capacità	
Angolo di Attrito (" gradi sessadecimali)	25		
Coesione c (daN/cm²)	0		

Risultati

Press. Ammiss. secondo TERZAGHI (daN/cm²)	6.952	Kwink. (da Terzaghi correl. di Bowles) (daN/cm²)	2.781
Press. Ammiss. secondo MEYERHOF (daN/cm²)	6.811	Kwink. (da Meyerhof correl. di Bowles) (daN/cm²)	2.250
Press. Ammiss. secondo HANSEN (daN/cm²)	6.946	Kwink. (da Hansen correl. di Bowles) (daN/cm²)	2.251

Calcolo
Stampa
X
Esci

La verifica di resistenza del terreno interagente con la struttura è stata condotta con l'Approccio 2 con la Combinazione ($A_1 + M_1 + R_3$), nella quale i coefficienti A_1 sono gli stessi delle verifiche strutturali, i coefficienti M_1 sono tutti unitari ed il coefficiente R_3 per la verifica della capacità portante $\gamma_R = 2,3$.

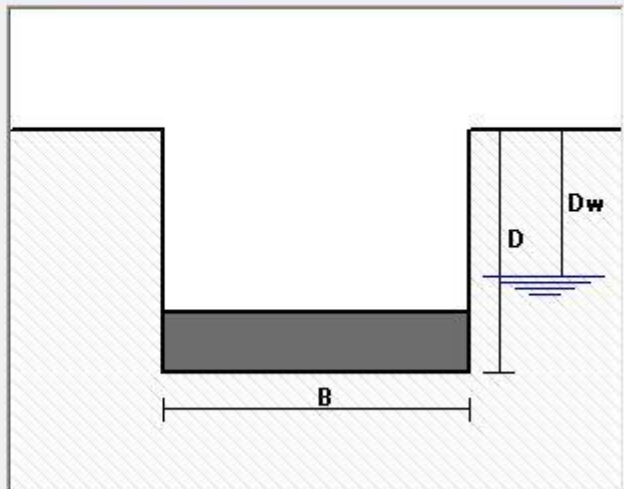
Quindi si avrà che: $q_{adm} = q_{lim} / \gamma_R = 3.02 \text{ Kg/cm}^2$.

Capacità portante Fondazioni superficiali

X

Tipologia Fondazione

- Impronta quadrata ($B=L$)
- Impronta circolare ($B=Diametro$)
- Impronta rettangolare ($B < L$)
- Impronta nastriiforme (travi rovesce)



Dati Geometrici Fondazione (in assenza di falda)

Lato (diametro) impronta B (cm)	<input type="text" value="200"/>
Profondità impronta L (cm) [$>B$]	<input type="text"/>
Affondamento piano di posa D (cm)	<input type="text" value="215"/>
Affondamento livello Falda Dw(cm) [Se >0]	<input type="text" value="0"/>

Parametri Geotecnici

Peso di Volume del Terreno (daN/m³)	<input type="text" value="1980"/>
Peso Sp.Terreno saturo (daN/mc) [se $Dw>0$]	<input type="text"/>
Angolo di Attrito (" gradi sessadecimali)	<input type="text" value="25"/>
Coesione c (daN/cm²)	<input type="text" value="0"/>

Coefficiente di Sicurezza

In assenza di falda porre $Dw=0$.
Per $\theta = 0$ il calcolo è effettuato per condizione non drenata ed il valore della coesione da inserire è C_u ; va inoltre assegnato il peso sp. saturo del terreno.
Nelle formule impiegate per il calcolo della capacità



Risultati

Press. Ammiss. secondo TERZAGHI (daN/cm²)	<input type="text" value="7.336"/>	Kwink. (da Terzaghi correl. di Bowles) (daN/cm²)	<input type="text" value="2.934"/>
Press. Ammiss. secondo MEYERHOF (daN/cm²)	<input type="text" value="6.887"/>	Kwink. (da Meyerhof correl. di Bowles) (daN/cm²)	<input type="text" value="2.357"/>
Press. Ammiss. secondo HANSEN (daN/cm²)	<input type="text" value="7.058"/>	Kwink. (da Hansen correl. di Bowles) (daN/cm²)	<input type="text" value="2.357"/>

Calcolo Stampa Esci

La verifica di resistenza del terreno interagente con la struttura è stata condotta con l'Approccio 2 con la Combinazione ($A_1 + M_1 + R_3$), nella quale i coefficienti A_1 sono gli stessi delle verifiche strutturali, i coefficienti M_1 sono tutti unitari ed il coefficiente R_3 per la verifica della capacità portante $\gamma_R = 2,3$.

Quindi si avrà che:

$$q_{adm} = q_{lim} / \gamma_R = 3.07 \text{ Kg/cm}^2.$$

1.3 SINTESI DEI PARAMETRI SISMICI

L'analisi dell'azione sismica verrà opportunamente illustrata nella Relazione di Calcolo, tuttavia per introdurre le verifiche effettuate in Dinamica modale si sintetizzano i parametri sismici:

ED50: LON. 12.628611° LAT. 42.580277°

Si riportano i valori dei parametri a_g , F_0 e T^* , per il sito in esame, in condizioni di campo libero su sito di riferimento rigido con superficie orizzontale (di Categoria A), per vari valori del periodo di ritorno, determinate con il programma P.C.M. Versione 2015.03.2

Tr (anni)	a_g (g)	F_0 (-)	T^*
30	0.057	2.507	0.270
50	0.070	2.494	0.280
72	0.081	2.508	0.290
101	0.094	2.457	0.293
140	0.106	2.450	0.300
201	0.123	2.417	0.310
475	0.261	2.454	0.320
975	0.207	2.480	0.333
2475	0.269	2.504	0.343

Tab. 1: Parametri di riferimento per la definizione degli spettri di progetto.

Il valore evidenziato in rosso è il valore dell'accelerazione orizzontale massima su suolo rigido a_g che ha una probabilità del 10% di essere superata in 50 anni, ovvero con un tempo di ritorno di 475 anni.

- Categorie di sottosuolo: Tipo B
- Condizioni topografiche: Categoria T1
- Vita nominale: 50 anni
- Classe d'uso: Classe III
- Periodo di riferimento per l'azione sismica: 75 anni
- Non regolare né in pianta né in altezza
- Fattore di struttura q (C8.7.1.2) : 2,250

1.4 STRUTTURE DI FONDAZIONE

Le strutture di fondazione sono costituite da conglomerato cementizio non armato Il piano di attestazione delle fondazioni si trova a 1,45m di profondità per quanto riguarda la fondazione Sud e 2,15m di profondità per quanto riguarda la fondazione Nord. Allo stato attuale non si riscontrano problematiche evidenti e non esiste alcun danno, quindi non sono previsti interventi strutturali.

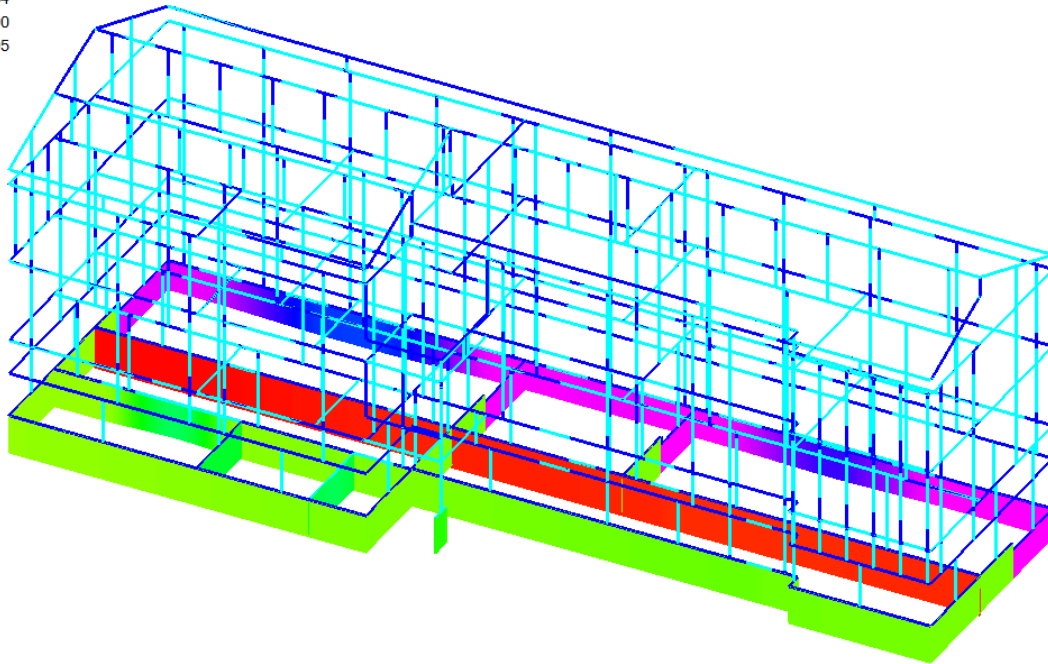
1.5 VERIFICHE GEOTECNICHE AGLI SLU E SLV STATO DI PROGETTO

Per le strutture di fondazione sono state eseguite le verifiche di tipo geotecnico in termini di capacità portante e scorrimento sul piano di posa, effettuando sia un'analisi statica sia un'analisi sismica allo stato limite ultimo mediante la dinamica modale, si riportano di seguito i risultati delle verifiche:

STATO ATTUALE – STATICÀ

Tensione sul terreno N/mm²(Valore assoluto)

- 0.137 - 0.143
- 0.143 - 0.149
- 0.149 - 0.155
- 0.155 - 0.160
- 0.160 - 0.166
- 0.166 - 0.172
- 0.172 - 0.178
- 0.178 - 0.184
- 0.184 - 0.190
- 0.190 - 0.195



19. VERIFICHE PER STATO LIMITE ULTIMO DI TIPO GEOTECNICO (§6.4.2.1) [SLV] - C.Sic: 1.422 (CCC ID 12)

(Analisi Statica Lineare NON Sismica: Inviluppo CCC SLU)

VERIFICA DI CAPACITA' PORTANTE DEL TERRENO (§6.4.2.1) [SLV]

(Analisi Statica Lineare NON Sismica: Inviluppo CCC SLU)

N.asta	K Winkler	q,lim	Rd	Nodo	sZ,i	sT,i	Ed,i	C.Sic.	Nodo	sZ,j	sT,j	Ed,j	C.Sic.	ID	
	(N/mm ³)	(N/mm ²)		i	(mm)	(N/mm ²)		i	j	(mm)	(N/mm ²)		j	CCC	
1005	0.022	0.690	0.300	805	-8.08	0.178	0.178	1.688	806	-8.09	0.178	0.178	1.686	9	
1006	0.021	0.680	0.296	819	-8.09	0.170	0.170	1.741	806	-8.09	0.170	0.170	1.741	9	
1227	0.017	0.508	0.221	814	-8.07	0.137	0.137	1.609	11	-8.07	0.137	0.137	1.609	9	
1228	0.017	0.508	0.221	1	-8.07	0.137	0.137	1.609	815	-8.07	0.137	0.137	1.609	9	
1229	0.022	0.690	0.300	800	-8.07	0.178	0.178	1.690	51	-8.06	0.177	0.177	1.691	9	
1230	0.022	0.690	0.300	5	-8.06	0.177	0.177	1.691	801	-8.06	0.177	0.177	1.692	9	
1231	0.022	0.690	0.300	801	-8.06	0.177	0.177	1.692	91	-8.06	0.177	0.177	1.692	9	
1232	0.022	0.690	0.300	9	-8.06	0.177	0.177	1.692	802	-8.06	0.177	0.177	1.692	9	
1233	0.022	0.690	0.300	802	-8.06	0.177	0.177	1.692	121	-8.06	0.177	0.177	1.693	9	
1234	0.022	0.690	0.300	12	-8.06	0.177	0.177	1.692	141	-8.06	0.177	0.177	1.693	10	
1235	0.022	0.690	0.300	14	-8.06	0.177	0.177	1.693	181	-8.04	0.177	0.177	1.697	9	
1236	0.022	0.690	0.300	18	-8.04	0.177	0.177	1.697	161	-8.04	0.177	0.177	1.696	9	
1237	0.022	0.690	0.300	16	-8.04	0.177	0.177	1.696	856	-8.04	0.177	0.177	1.695	11	
1238	0.022	0.690	0.300	21	-8.08	0.178	0.178	1.688	805	-8.08	0.178	0.178	1.688	9	
1239	0.022	0.690	0.300	806	-8.09	0.178	0.178	1.686	251	-8.09	0.178	0.178	1.685	9	
1240	0.022	0.690	0.300	25	-8.09	0.178	0.178	1.685	821	-8.11	0.178	0.178	1.682	9	
1241	0.022	0.690	0.300	807	-8.13	0.179	0.179	1.677	281	-8.14	0.179	0.179	1.676	9	
1242	0.022	0.690	0.300	28	-8.14	0.179	0.179	1.676	808	-8.14	0.179	0.179	1.676	9	
1243	0.017	0.508	0.221	812	-8.14	0.138	0.138	1.596	321	-8.14	0.138	0.138	1.596	9	
1244	0.017	0.508	0.221	32	-8.14	0.138	0.138	1.596	341	-8.14	0.138	0.138	1.596	9	
1245	0.017	0.508	0.221	34	-8.14	0.138	0.138	1.596	391	-8.35	0.142	0.142	1.556	9	
1246	0.017	0.508	0.221	39	-8.35	0.142	0.142	1.556	371	-8.52	0.145	0.145	1.525	9	
1247	0.017	0.508	0.221	37	-8.52	0.145	0.145	1.525	401	-8.69	0.148	0.148	1.495	9	
1248	0.017	0.508	0.221	40	-8.69	0.148	0.148	1.495	451	-8.91	0.152	0.152	1.458	9	
1249	0.017	0.508	0.221	45	-8.91	0.152	0.152	1.458	431	-8.92	0.152	0.152	1.457	9	
1250	0.017	0.508	0.221	43	-8.92	0.152	0.152	1.457	461	-8.92	0.152	0.152	1.456	9	
1251	0.017	0.508	0.221	46	-8.92	0.152	0.152	1.456	511	-8.71	0.148	0.148	1.492	9	
1252	0.017	0.508	0.221	51	-8.71	0.148	0.148	1.492	491	-8.52	0.145	0.145	1.525	9	
1253	0.017	0.508	0.221	49	-8.52	0.145	0.145	1.525	521	-8.33	0.142	0.142	1.560	9	
1254	0.017	0.508	0.221	52	-8.33	0.142	0.142	1.560	571	-8.09	0.137	0.137	1.607	9	

1255	0.017	0.508	0.221	57	-8.09	0.137	0.137	1.607	55	-8.09	0.137	0.137	1.607	9
1256	0.017	0.508	0.221	55	-8.09	0.137	0.137	1.607	813	-8.09	0.137	0.137	1.607	9
1257	0.017	0.508	0.221	813	-8.09	0.137	0.137	1.607	60	-8.09	0.137	0.137	1.607	9
1258	0.017	0.508	0.221	60	-8.09	0.137	0.137	1.607	62	-8.09	0.137	0.137	1.607	9
1259	0.017	0.508	0.221	62	-8.09	0.137	0.137	1.607	66	-8.11	0.138	0.138	1.602	9
1260	0.017	0.508	0.221	66	-8.11	0.138	0.138	1.602	64	-8.11	0.138	0.138	1.601	11
1261	0.017	0.508	0.221	64	-8.11	0.138	0.138	1.601	67	-8.11	0.138	0.138	1.602	11
1262	0.017	0.508	0.221	67	-8.11	0.138	0.138	1.602	72	-8.08	0.137	0.137	1.608	9
1263	0.017	0.508	0.221	72	-8.08	0.137	0.137	1.608	70	-8.08	0.137	0.137	1.608	9
1264	0.017	0.508	0.221	70	-8.08	0.137	0.137	1.608	826	-8.08	0.137	0.137	1.608	9
1265	0.017	0.508	0.221	826	-8.08	0.137	0.137	1.608	75	-8.08	0.137	0.137	1.608	9
1266	0.017	0.508	0.221	75	-8.08	0.137	0.137	1.608	77	-8.08	0.137	0.137	1.608	9
1267	0.017	0.508	0.221	77	-8.08	0.137	0.137	1.608	81	-8.27	0.141	0.141	1.572	9
1268	0.017	0.508	0.221	81	-8.27	0.141	0.141	1.572	79	-8.40	0.143	0.143	1.546	11
1269	0.017	0.508	0.221	79	-8.40	0.143	0.143	1.547	82	-8.53	0.145	0.145	1.522	9
1270	0.017	0.508	0.221	82	-8.54	0.145	0.145	1.522	87	-8.58	0.146	0.146	1.514	10
1271	0.017	0.508	0.221	87	-8.58	0.146	0.146	1.514	85	-8.45	0.144	0.144	1.537	10
1272	0.017	0.508	0.221	85	-8.45	0.144	0.144	1.537	88	-8.32	0.142	0.142	1.561	9
1273	0.017	0.508	0.221	88	-8.33	0.142	0.142	1.560	93	-8.08	0.137	0.137	1.609	10
1274	0.017	0.508	0.221	93	-8.08	0.137	0.137	1.608	91	-8.08	0.137	0.137	1.609	11
1275	0.017	0.508	0.221	91	-8.07	0.137	0.137	1.609	814	-8.07	0.137	0.137	1.609	9
1276	0.022	0.690	0.300	818	-8.08	0.178	0.178	1.687	95	-8.08	0.178	0.178	1.687	9
1277	0.022	0.690	0.300	857	-8.08	0.178	0.178	1.687	819	-8.09	0.178	0.178	1.686	9
1278	0.022	0.690	0.300	95	-8.08	0.178	0.178	1.687	857	-8.08	0.178	0.178	1.687	9
1279	0.022	0.690	0.300	819	-8.09	0.178	0.178	1.686	99	-8.11	0.178	0.178	1.681	9
1280	0.022	0.690	0.300	99	-8.11	0.178	0.178	1.681	822	-8.12	0.179	0.179	1.680	9
1281	0.022	0.690	0.300	822	-8.12	0.179	0.179	1.680	858	-7.88	0.173	0.173	1.731	9
1282	0.022	0.690	0.300	858	-7.88	0.173	0.173	1.731	103	-7.94	0.175	0.175	1.717	9
1283	0.022	0.690	0.300	103	-7.94	0.175	0.175	1.717	859	-8.00	0.176	0.176	1.704	9
1284	0.022	0.690	0.300	859	-8.00	0.176	0.176	1.704	860	-8.13	0.179	0.179	1.676	9
1285	0.022	0.690	0.300	860	-8.13	0.179	0.179	1.676	107	-8.14	0.179	0.179	1.676	9
1286	0.022	0.690	0.300	107	-8.14	0.179	0.179	1.676	808	-8.14	0.179	0.179	1.676	9
1287	0.024	0.710	0.309	817	-8.07	0.194	0.194	1.593	111	-8.07	0.194	0.194	1.594	9
1288	0.024	0.710	0.309	111	-8.07	0.194	0.194	1.594	820	-8.06	0.194	0.194	1.595	9
1289	0.024	0.710	0.309	828	-8.08	0.194	0.194	1.592	115	-8.08	0.194	0.194	1.592	9
1290	0.024	0.710	0.309	115	-8.08	0.194	0.194	1.592	861	-8.08	0.194	0.194	1.592	9
1291	0.024	0.710	0.309	861	-8.08	0.194	0.194	1.592	862	-8.08	0.194	0.194	1.591	9
1292	0.024	0.710	0.309	862	-8.08	0.194	0.194	1.591	119	-8.08	0.194	0.194	1.591	9
1293	0.024	0.710	0.309	119	-8.08	0.194	0.194	1.591	823	-8.08	0.194	0.194	1.591	9
1294	0.024	0.710	0.309	823	-8.08	0.194	0.194	1.591	123	-8.08	0.194	0.194	1.591	9
1295	0.024	0.710	0.309	123	-8.08	0.194	0.194	1.591	863	-8.08	0.194	0.194	1.591	9
1296	0.024	0.710	0.309	863	-8.09	0.194	0.194	1.591	864	-8.09	0.194	0.194	1.590	11
1297	0.024	0.710	0.309	864	-8.09	0.194	0.194	1.591	126	-8.11	0.195	0.195	1.587	9
1298	0.024	0.710	0.309	126	-8.11	0.195	0.195	1.587	865	-8.13	0.195	0.195	1.583	9
1299	0.024	0.710	0.309	865	-8.13	0.195	0.195	1.583	866	-8.13	0.195	0.195	1.581	9
1300	0.024	0.710	0.309	866	-8.13	0.195	0.195	1.581	130	-8.14	0.195	0.195	1.581	9
1301	0.024	0.710	0.309	130	-8.14	0.195	0.195	1.581	809	-8.14	0.195	0.195	1.580	9
1302	0.022	0.690	0.300	809	-8.14	0.179	0.179	1.675	134	-8.14	0.179	0.179	1.675	9
1303	0.022	0.690	0.300	134	-8.14	0.179	0.179	1.675	810	-8.14	0.179	0.179	1.675	9
1304	0.022	0.690	0.300	808	-8.14	0.179	0.179	1.676	138	-8.14	0.179	0.179	1.676	9
1305	0.022	0.690	0.300	138	-8.14	0.179	0.179	1.676	809	-8.14	0.179	0.179	1.675	9
1306	0.017	0.508	0.221	826	-8.08	0.137	0.137	1.608	140	-8.08	0.137	0.137	1.608	9
1307	0.017	0.508	0.221	140	-8.08	0.137	0.137	1.608	827	-8.08	0.137	0.137	1.608	9
1308	0.017	0.508	0.221	825	-8.08	0.137	0.137	1.607	144	-8.09	0.137	0.137	1.607	9
1309	0.017	0.508	0.221	144	-8.09	0.137	0.137	1.607	813	-8.09	0.137	0.137	1.607	9
1310	0.022	0.690	0.300	867	-8.08	0.178	0.178	1.687	148	-8.08	0.178	0.178	1.687	9
1311	0.022	0.690	0.300	148	-8.08	0.178	0.178	1.687	823	-8.08	0.178	0.178	1.687	9
1312	0.022	0.690	0.300	868	-8.08	0.178	0.178	1.687	867	-8.08	0.178	0.178	1.687	9
1313	0.022	0.690	0.300	151	-8.08	0.178	0.178	1.687	868	-8.08	0.178	0.178	1.687	9
1314	0.022	0.690	0.300	817	-8.07	0.178	0.178	1.689	154	-8.07	0.178	0.178	1.690	9
1315	0.022	0.690	0.300	154	-8.07	0.178	0.178	1.689	800	-8.07	0.178	0.178	1.690	10
1316	0.021	0.680	0.296	821	-8.11	0.170	0.170	1.737	157	-8.11	0.170	0.170	1.736	9
1317	0.021	0.680	0.296	157	-8.11	0.170	0.170	1.736	822	-8.12	0.170	0.170	1.735	9
1318	0.022	0.690	0.300	816	-8.07	0.178	0.178	1.689	161	-8.07	0.178	0.178	1.689	9
1319	0.022	0.690	0.300	161	-8.07	0.178	0.178	1.689	817	-8.07	0.178	0.178	1.689	9
1320	0.022	0.690	0.300	828	-8.08	0.178	0.178	1.687	163	-8.08	0.178	0.178	1.687	11
1321	0.022	0.690	0.300	163	-8.08	0.178	0.178	1.687	829	-8.08	0.178	0.178	1.687	11
1322	0.022	0.690	0.300	823	-8.08	0.178	0.178	1.687	165	-8.08	0.178	0.178	1.687	9
1323	0.022	0.690	0.300	165	-8.08	0.178	0.178	1.687	824	-8.08	0.178	0.178	1.687	9
1324	0.017	0.508	0.221	811	-8.14	0.138	0.138	1.596	167	-8.14	0.138	0.138	1.596	9
1325	0.017	0.508	0.221	167	-8.14	0.138	0.138	1.596	812	-8.14	0.138	0.138	1.596	9
1326	0.022	0.690	0.300	821	-8.11	0.178	0.178	1.682	276	-8.12	0.179	0.179	1.679	9
1327	0.022	0.690	0.300	276	-8.12	0.179	0.179	1.679	807	-8.13	0.179	0.179	1.677	9
1328	0.022	0.690	0.300	849	-8.06	0.177	0.177	1.692	751	-8.07	0.178	0.178	1.690	9
1329	0.022	0.690	0.300	751	-8.07	0.178	0.178	1.690	804	-8.08	0.178	0.178	1.687	9
1330	0.022	0.690	0.300	803	-8.05	0.177	0.177	1.694	754	-8.06	0.177	0.177</		

1453	0.022	0.690	0.300	804	-8.08	0.178	0.178	1.687	151	-8.08	0.178	0.178	1.687	9
------	-------	-------	-------	-----	-------	-------	-------	-------	-----	-------	-------	-------	-------	---

VERIFICA DI SCORRIMENTO SUL PIANO DI POSA (\$6.4.2.1) [SLV] (CCC ID 12)
 (Analisi Statica Lineare NON Sismica: Inviluppo CCC SLU)

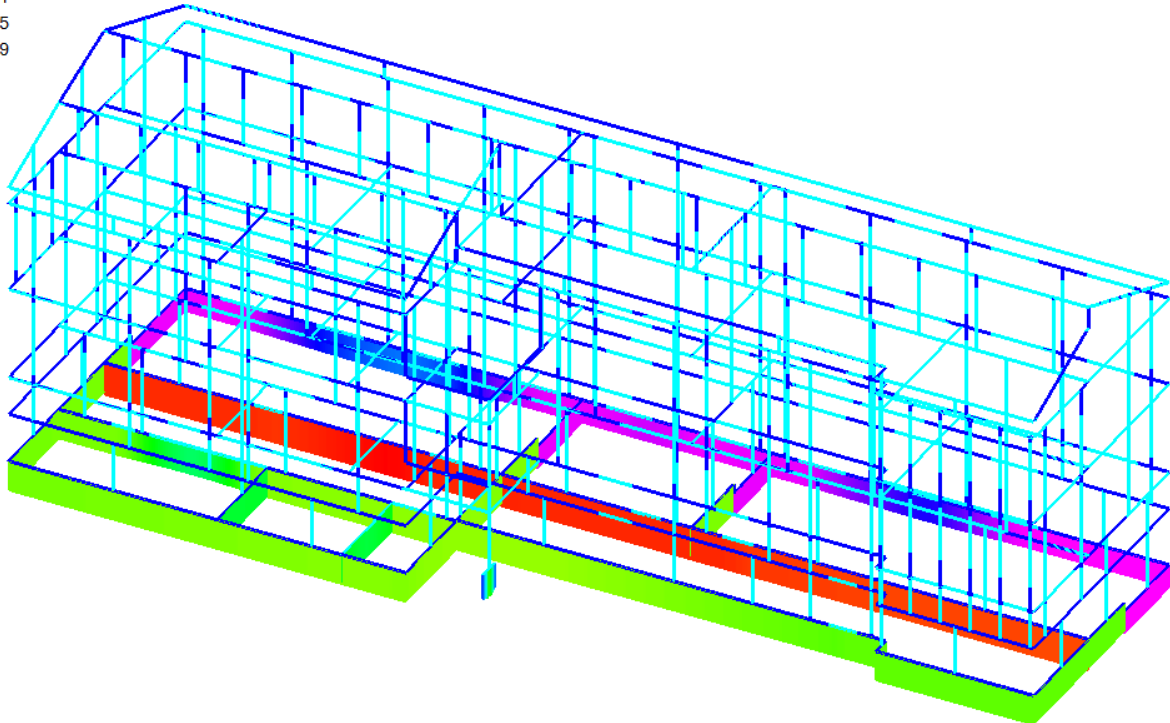
N.nodo	F orizz.X	F orizz.Y	F vert.
	(kN)	(kN)	(kN)
<hr/>			
1	-120.26	51.86	898.94
5	-5.92	183.89	1299.92
9	18.14	4.81	206.27
12	-0.69	34.21	359.53
16	-0.24	6.47	411.74
21	-93.96	56.40	1023.18
25	-3.13	219.31	1764.08
28	91.82	56.23	1106.30
32	0.91	6.78	581.84
37	-78.35	8.83	715.03
43	-1.34	8.41	1071.38
49	88.92	8.44	783.97
55	0.32	4.63	591.45
60	0.26	4.23	536.57
64	1.54	8.45	869.64
70	0.35	4.05	557.01
75	0.31	4.40	568.00
79	-60.98	7.86	786.59
85	59.76	7.66	1237.58
91	3.57	18.80	1157.44
95	0.04	1.17	241.55
99	4.93	14.18	2862.26
103	2.95	0.87	204.15
107	-0.26	3.37	789.35
111	-3.38	10.46	2481.94
115	-0.13	2.05	557.66
119	-0.83	8.93	1928.22
123	-0.22	2.93	668.95
126	5.66	10.03	2380.49
130	-0.09	8.49	1973.06
134	49.67	26.06	589.38
138	82.98	49.99	989.48
140	0.02	29.48	504.26
144	0.00	38.36	590.47
148	0.00	2.62	287.38
151	0.00	2.61	246.58
154	-101.69	79.42	1296.60
157	0.06	35.43	933.86
161	-66.08	48.74	847.08
163	-0.05	39.21	583.84
165	-0.05	31.33	501.04
167	145.08	50.15	995.87
276	-4.65	245.07	1822.06
751	-1.00	29.90	1702.83
754	-0.58	13.84	843.55
757	-1.98	6.64	1608.44
760	-0.14	2.10	574.18
766	-0.55	12.06	765.42
850	0.40	0.37	160.77

Direz.	F.orizz.tot.	F.vert.tot.	R	Ed	Rd	C.Sic.
	(kN)	(kN)	(kN)	(kN)	(kN)	
<hr/>						
X	11.14	46457.18	15094.85	11.14	13722.59	>> 1
Y	1511.58	46457.18	15094.85	1511.58	13722.59	9.078

STATO ATTUALE – DINAMICA

Tensione sul terreno N/mm²(Valore assoluto)

- 0.097 - 0.101
- 0.101 - 0.106
- 0.106 - 0.110
- 0.110 - 0.114
- 0.114 - 0.118
- 0.118 - 0.123
- 0.123 - 0.127
- 0.127 - 0.131
- 0.131 - 0.135
- 0.135 - 0.139



17. VERIFICHE PER STATO LIMITE ULTIMO DI TIPO GEOTECNICO (\$6.4.2.1, \$7.2.5) [SLV] – C.Sic: 1.234 (Analisi Sismica Dinamica Modale)

VERIFICA DI CAPACITA' PORTANTE DEL TERRENO (\$6.4.2.1, \$7.2.5) [SLV] (Analisi Sismica Dinamica Modale)

N.asta K Winkler q _{lim} Rd Nodo sZ,i sT,i Ed,i C.Sic. Nodo sZ,j sT,j Ed,j C.Sic.	(N/mm ³) (N/mm ²) i i (mm) (N/mm ²) i j (mm) (N/mm ²) j
1005 0.022 0.690 0.300 805 -5.85 0.129 0.142 2.119 806 -5.86 0.129 0.142 2.115	(N/mm ³) (N/mm ²) i i (mm) (N/mm ²) i j (mm) (N/mm ²) j
1006 0.021 0.680 0.296 819 -5.85 0.123 0.135 2.188 806 -5.86 0.123 0.135 2.184	
1227 0.017 0.508 0.221 814 -5.88 0.100 0.110 2.008 1 -5.88 0.100 0.110 2.008	
1228 0.017 0.508 0.221 1 -5.88 0.100 0.110 2.008 815 -5.88 0.100 0.110 2.008	
1229 0.022 0.690 0.300 800 -5.88 0.129 0.142 2.109 5 -5.87 0.129 0.142 2.112	
1230 0.022 0.690 0.300 5 -5.87 0.129 0.142 2.112 801 -5.86 0.129 0.142 2.116	
1231 0.022 0.690 0.300 801 -5.86 0.129 0.142 2.116 9 -5.86 0.129 0.142 2.116	
1232 0.022 0.690 0.300 9 -5.86 0.129 0.142 2.116 802 -5.86 0.129 0.142 2.115	
1233 0.022 0.690 0.300 802 -5.86 0.129 0.142 2.115 12 -5.86 0.129 0.142 2.116	
1234 0.022 0.690 0.300 12 -5.86 0.129 0.142 2.116 14 -5.86 0.129 0.142 2.117	
1235 0.022 0.690 0.300 14 -5.86 0.129 0.142 2.117 18 -5.84 0.129 0.141 2.121	
1236 0.022 0.690 0.300 18 -5.84 0.129 0.141 2.121 16 -5.84 0.128 0.141 2.122	
1237 0.022 0.690 0.300 16 -5.84 0.128 0.141 2.122 856 -5.84 0.128 0.141 2.123	
1238 0.022 0.690 0.300 21 -5.84 0.128 0.141 2.124 805 -5.85 0.129 0.142 2.119	
1239 0.022 0.690 0.300 806 -5.86 0.129 0.142 2.115 25 -5.87 0.129 0.142 2.111	
1240 0.022 0.690 0.300 25 -5.87 0.129 0.142 2.111 821 -5.90 0.130 0.143 2.100	
1241 0.022 0.690 0.300 807 -5.96 0.131 0.144 2.080 28 -5.96 0.131 0.144 2.080	
1242 0.022 0.690 0.300 28 -5.96 0.131 0.144 2.080 808 -5.96 0.131 0.144 2.080	
1243 0.017 0.508 0.221 812 -5.96 0.101 0.112 1.981 32 -5.96 0.101 0.112 1.981	
1244 0.017 0.508 0.221 32 -5.96 0.101 0.112 1.981 34 -5.96 0.101 0.111 1.981	
1245 0.017 0.508 0.221 34 -5.96 0.101 0.111 1.981 39 -6.15 0.105 0.115 1.920	
1246 0.017 0.508 0.221 39 -6.15 0.105 0.115 1.920 37 -6.26 0.106 0.117 1.887	
1247 0.017 0.508 0.221 37 -6.26 0.106 0.117 1.887 40 -6.36 0.108 0.119 1.856	
1248 0.017 0.508 0.221 40 -6.36 0.108 0.119 1.886 45 -6.53 0.111 0.122 1.809	
1249 0.017 0.508 0.221 45 -6.53 0.111 0.122 1.809 43 -6.48 0.110 0.121 1.822	
1250 0.017 0.508 0.221 43 -6.48 0.110 0.121 1.822 46 -6.48 0.110 0.121 1.823	

1251 0.017 0.508 0.221 46 -6.48 0.110 0.121 1.823 51 -6.31 0.107 0.118 1.871
1252 0.017 0.508 0.221 51 -6.31 0.107 0.118 1.871 49 -6.19 0.105 0.116 1.908
1253 0.017 0.508 0.221 49 -6.19 0.105 0.116 1.908 52 -6.07 0.103 0.113 1.947
1254 0.017 0.508 0.221 52 -6.07 0.103 0.113 1.947 57 -5.85 0.099 0.109 2.020
1255 0.017 0.508 0.221 57 -5.85 0.099 0.109 2.020 55 -5.85 0.099 0.109 2.020
1256 0.017 0.508 0.221 55 -5.85 0.099 0.109 2.020 813 -5.85 0.099 0.109 2.020
1257 0.017 0.508 0.221 813 -5.85 0.099 0.109 2.020 60 -5.85 0.099 0.109 2.020
1258 0.017 0.508 0.221 60 -5.85 0.099 0.109 2.020 62 -5.85 0.099 0.109 2.020
1259 0.017 0.508 0.221 62 -5.85 0.099 0.109 2.020 66 -5.83 0.099 0.109 2.024
1260 0.017 0.508 0.221 66 -5.83 0.099 0.109 2.024 64 -5.86 0.100 0.110 2.014
1261 0.017 0.508 0.221 64 -5.86 0.100 0.110 2.014 67 -5.90 0.100 0.110 2.003
1262 0.017 0.508 0.221 67 -5.90 0.100 0.110 2.003 72 -5.85 0.099 0.109 2.020
1263 0.017 0.508 0.221 72 -5.85 0.099 0.109 2.020 70 -5.85 0.099 0.109 2.020
1264 0.017 0.508 0.221 70 -5.85 0.099 0.109 2.020 826 -5.85 0.099 0.109 2.020
1265 0.017 0.508 0.221 826 -5.85 0.099 0.109 2.020 75 -5.85 0.099 0.109 2.020
1266 0.017 0.508 0.221 75 -5.85 0.099 0.109 2.020 77 -5.85 0.099 0.109 2.020
1267 0.017 0.508 0.221 77 -5.85 0.099 0.109 2.020 81 -5.95 0.101 0.111 1.986
1268 0.017 0.508 0.221 81 -5.95 0.101 0.111 1.986 79 -6.06 0.103 0.113 1.949
1269 0.017 0.508 0.221 79 -6.06 0.103 0.113 1.949 82 -6.18 0.105 0.116 1.911
1270 0.017 0.508 0.221 82 -6.18 0.105 0.116 1.911 87 -6.21 0.106 0.116 1.902
1271 0.017 0.508 0.221 87 -6.21 0.106 0.116 1.902 85 -6.15 0.105 0.115 1.921
1272 0.017 0.508 0.221 85 -6.15 0.105 0.115 1.921 88 -6.09 0.104 0.114 1.938
1273 0.017 0.508 0.221 88 -6.09 0.104 0.114 1.938 93 -5.88 0.100 0.110 2.008
1274 0.017 0.508 0.221 93 -5.88 0.100 0.110 2.008 91 -5.88 0.100 0.110 2.008
1275 0.017 0.508 0.221 91 -5.88 0.100 0.110 2.008 814 -5.88 0.100 0.110 2.008
1276 0.022 0.690 0.300 818 -5.83 0.128 0.141 2.125 95 -5.84 0.128 0.141 2.124
1277 0.022 0.690 0.300 857 -5.84 0.128 0.141 2.123 819 -5.85 0.129 0.142 2.120
1278 0.022 0.690 0.300 95 -5.84 0.128 0.141 2.124 857 -5.84 0.128 0.141 2.123
1279 0.022 0.690 0.300 819 -5.85 0.129 0.142 2.120 99 -5.89 0.130 0.143 2.103
1280 0.022 0.690 0.300 99 -5.89 0.130 0.143 2.103 822 -5.90 0.130 0.143 2.100
1281 0.022 0.690 0.300 822 -5.90 0.130 0.143 2.100 858 -5.76 0.127 0.139 2.154
1282 0.022 0.690 0.300 858 -5.76 0.127 0.139 2.154 103 -5.80 0.128 0.140 2.136
1283 0.022 0.690 0.300 103 -5.80 0.128 0.140 2.136 859 -5.85 0.129 0.142 2.119
1284 0.022 0.690 0.300 859 -5.85 0.129 0.142 2.119 860 -5.95 0.131 0.144 2.083
1285 0.022 0.690 0.300 860 -5.95 0.131 0.144 2.083 107 -5.96 0.131 0.144 2.081
1286 0.022 0.690 0.300 107 -5.96 0.131 0.144 2.081 808 -5.96 0.131 0.144 2.080
1287 0.024 0.710 0.309 817 -5.88 0.141 0.155 1.988 111 -5.87 0.141 0.155 1.991
1288 0.024 0.710 0.309 111 -5.87 0.141 0.155 1.991 820 -5.86 0.141 0.155 1.996
1289 0.024 0.710 0.309 828 -5.85 0.140 0.154 2.000 115 -5.85 0.140 0.154 2.000
1290 0.024 0.710 0.309 115 -5.85 0.140 0.154 2.000 861 -5.85 0.140 0.154 2.000
1291 0.024 0.710 0.309 861 -5.85 0.140 0.154 2.000 862 -5.85 0.140 0.154 2.000
1292 0.024 0.710 0.309 862 -5.85 0.140 0.154 2.000 119 -5.85 0.140 0.154 2.000
1293 0.024 0.710 0.309 119 -5.85 0.140 0.154 2.000 823 -5.85 0.140 0.154 2.000
1294 0.024 0.710 0.309 823 -5.85 0.140 0.154 2.000 123 -5.85 0.140 0.154 2.000
1295 0.024 0.710 0.309 123 -5.85 0.140 0.154 2.000 863 -5.85 0.140 0.154 2.000
1296 0.024 0.710 0.309 863 -5.85 0.140 0.154 2.000 864 -5.85 0.140 0.154 2.000
1297 0.024 0.710 0.309 864 -5.85 0.140 0.154 2.000 126 -5.86 0.141 0.155 1.997
1298 0.024 0.710 0.309 126 -5.86 0.141 0.155 1.997 865 -5.94 0.143 0.157 1.968
1299 0.024 0.710 0.309 865 -5.94 0.143 0.157 1.968 866 -5.95 0.143 0.157 1.965
1300 0.024 0.710 0.309 866 -5.95 0.143 0.157 1.965 130 -5.96 0.143 0.157 1.963
1301 0.024 0.710 0.309 130 -5.96 0.143 0.157 1.963 809 -5.96 0.143 0.157 1.962
1302 0.022 0.690 0.300 809 -5.96 0.131 0.144 2.080 134 -5.96 0.131 0.144 2.079
1303 0.022 0.690 0.300 134 -5.96 0.131 0.144 2.079 810 -5.96 0.131 0.144 2.079
1304 0.022 0.690 0.300 808 -5.96 0.131 0.144 2.080 138 -5.96 0.131 0.144 2.080
1305 0.022 0.690 0.300 138 -5.96 0.131 0.144 2.080 809 -5.96 0.131 0.144 2.080
1306 0.017 0.508 0.221 826 -5.85 0.099 0.109 2.020 140 -5.85 0.099 0.109 2.020
1307 0.017 0.508 0.221 140 -5.85 0.099 0.109 2.020 827 -5.85 0.099 0.109 2.020
1308 0.017 0.508 0.221 825 -5.85 0.099 0.109 2.020 144 -5.85 0.099 0.109 2.020
1309 0.017 0.508 0.221 144 -5.85 0.099 0.109 2.020 813 -5.85 0.099 0.109 2.020
1310 0.022 0.690 0.300 867 -5.85 0.129 0.141 2.121 148 -5.85 0.129 0.141 2.121
1311 0.022 0.690 0.300 148 -5.85 0.129 0.141 2.121 823 -5.85 0.129 0.141 2.121
1312 0.022 0.690 0.300 868 -5.84 0.128 0.141 2.124 867 -5.85 0.129 0.141 2.121
1313 0.022 0.690 0.300 151 -5.83 0.128 0.141 2.125 868 -5.84 0.128 0.141 2.124
1314 0.022 0.690 0.300 817 -5.88 0.129 0.142 2.108 154 -5.88 0.129 0.142 2.109
1315 0.022 0.690 0.300 154 -5.88 0.129 0.142 2.109 800 -5.88 0.129 0.142 2.109
1316 0.021 0.680 0.296 821 -5.90 0.124 0.136 2.168 157 -5.90 0.124 0.136 2.168
1317 0.021 0.680 0.296 157 -5.90 0.124 0.136 2.168 822 -5.90 0.124 0.136 2.168
1318 0.022 0.690 0.300 816 -5.88 0.129 0.142 2.108 161 -5.88 0.129 0.142 2.108
1319 0.022 0.690 0.300 161 -5.88 0.129 0.142 2.108 817 -5.88 0.129 0.142 2.108
1320 0.022 0.690 0.300 828 -5.85 0.129 0.141 2.120 163 -5.85 0.129 0.141 2.120
1321 0.022 0.690 0.300 163 -5.85 0.129 0.141 2.120 829 -5.85 0.129 0.141 2.120
1322 0.022 0.690 0.300 823 -5.85 0.129 0.141 2.121 165 -5.85 0.129 0.141 2.120
1323 0.022 0.690 0.300 165 -5.85 0.129 0.141 2.120 824 -5.85 0.129 0.141 2.120
1324 0.017 0.508 0.221 811 -5.96 0.101 0.111 1.981 167 -5.96 0.101 0.111 1.981
1325 0.017 0.508 0.221 167 -5.96 0.101 0.111 1.981 812 -5.96 0.101 0.112 1.981
1326 0.022 0.690 0.300 821 -5.90 0.130 0.143 2.100 276 -5.94 0.131 0.144 2.088
1327 0.022 0.690 0.300 276 -5.94 0.131 0.144 2.088 807 -5.96 0.131 0.144 2.080
1328 0.022 0.690 0.300 849 -5.82 0.128 0.141 2.132 751 -5.80 0.128 0.140 2.136
1329 0.022 0.690 0.300 751 -5.80 0.128 0.140 2.136 804 -5.83 0.128 0.141 2.125
1330 0.022 0.690 0.300 803 -5.83 0.128 0.141 2.127 754 -5.82 0.128 0.141 2.130
1331 0.022 0.690 0.300 754 -5.82 0.128 0.141 2.130 849 -5.82 0.128 0.141 2.132
1332 0.024 0.710 0.309 820 -5.86 0.141 0.155 1.996 869 -5.86 0.141 0.155 1.996
1333 0.024 0.710 0.309 869 -5.86 0.141 0.155 1.996 757 -5.85 0.140 0.154 2.000
1334 0.024 0.710 0.309 757 -5.85 0.140 0.154 2.000 870 -5.84 0.140 0.154 2.004
1335 0.024 0.710 0.309 870 -5.84 0.140 0.154 2.004 871 -5.85 0.140 0.154 2.000
1336 0.024 0.710 0.309 871 -5.85 0.140 0.154 2.000 760 -5.85 0.140 0.154 2.000
1337 0.024 0.710 0.309 760 -5.85 0.140 0.154 2.000 828 -5.85 0.140 0.154 2.000
1338 0.022 0.690 0.300 856 -5.84 0.128 0.141 2.123 766 -5.83 0.128 0.141 2.125
1339 0.022 0.690 0.300 766 -5.83 0.128 0.141 2.125 803 -5.83 0.128 0.141 2.127
1340 0.019 0.570 0.248 835 -7.67 0.146 0.160 1.546 850 -6.64 0.126 0.139 1.786

	1341	0.019	0.570	0.248	850	-6.64	0.126	0.139	1.786	836	-7.58	0.144	0.158	1.564
	1450	0.022	0.690	0.300	804	-5.83	0.128	0.141	2.125	818	-5.83	0.128	0.141	2.125
	1451	0.022	0.690	0.300	818	-5.83	0.128	0.141	2.125	21	-5.84	0.128	0.141	2.124
	1452	0.022	0.690	0.300	818	-5.83	0.128	0.141	2.125	804	-5.83	0.128	0.141	2.125
	1453	0.022	0.690	0.300	804	-5.83	0.128	0.141	2.125	151	-5.83	0.128	0.141	2.125

VERIFICA DI SCORRIMENTO SUL PIANO DI POSA (§6.4.2.1, §7.2.5) [SLV]

(Analisi Sismica Dinamica Modale)

N.nodo	F orizz.X	F orizz.Y	F vert.
	(kN)	(kN)	(kN)
1	19.11	291.24	635.65
5	282.05	353.67	920.25
9	45.92	20.32	145.28
12	58.58	67.95	253.43
16	85.56	43.77	285.74
21	57.40	271.78	722.36
25	339.28	562.42	1246.90
28	169.77	267.81	795.88
32	124.45	85.84	419.91
37	104.35	101.30	491.89
43	164.77	88.76	775.06
49	196.58	81.52	528.15
55	42.61	42.21	414.64
60	34.62	37.07	376.17
64	167.13	67.43	596.87
70	48.51	29.61	389.44
75	42.60	32.04	397.15
79	124.38	53.92	528.04
85	201.64	49.84	886.04
91	404.88	127.94	818.75
95	8.37	15.26	171.93
99	501.38	218.33	2020.22
103	5.61	14.92	137.83
107	96.29	60.52	572.09
111	390.45	104.68	1726.41
115	36.77	22.40	388.84
119	253.19	105.57	1325.80
123	62.14	38.04	459.52
126	279.87	147.56	1652.78
130	291.20	145.62	1359.09
134	85.64	143.13	426.07
138	144.43	239.63	716.97
140	33.63	152.32	387.85
144	38.88	211.13	454.12
148	8.25	16.69	197.48
151	8.75	16.64	175.10
154	136.44	387.18	915.22
157	20.71	247.51	658.01
161	87.70	253.94	597.86
163	47.15	209.25	449.01
165	39.94	155.65	385.27
167	171.09	259.97	720.41
276	376.71	733.59	1245.16
751	309.92	259.79	1212.54
754	138.52	107.02	596.38
757	249.32	69.66	1116.17
760	38.80	22.75	400.40
766	194.43	89.54	535.33
850	1.45	2.00	114.58

Direz.	F.orizz.tot.	F.vert.tot.	R	Ed	Rd	C.Sic.
	(kN)	(kN)	(kN)	(kN)	(kN)	
X	6771.22	32746.04	10639.83	7448.34	9672.58	1.299
Y	7126.73	32746.04	10639.83	7839.40	9672.58	1.234